

УДК 678.674

ФИЗИЧЕСКАЯ ХИМИЯ

Д. П. КИРЮХИН, А. М. КАПЛАН, И. М. БАРКАЛОВ,  
член-корреспондент АН СССР В. И. ГОЛЬДАНСКИЙ

**ПРИМЕНЕНИЕ АДИАБАТИЧЕСКОГО КАЛОРИМЕТРА  
ДЛЯ ОПРЕДЕЛЕНИЯ КОНСТАНТЫ ОБРЫВА ПРИ ПОЛИМЕРИЗАЦИИ  
ТВЕРДОГО ФОРМАЛЬДЕГИДА В ПОЛЕ  $\gamma$ -ИЗЛУЧЕНИЯ  
И ПРИ ПОСТПОЛИМЕРИЗАЦИИ**

В последнее время прямыми калориметрическими измерениями было показано протекание радиационной полимеризации твердого формальдегида (ФА) при температуре 80–90° К (1). Кинетика этого интересного процесса, протекающего с высоким радиационным выходом  $G(-M) \geq 10^5$  при столь низких температурах была исследована с применением дифференциального сканирующего калориметра (2). Однако инерционность использовавшегося в (2) калориметра (100–200 сек.) не позволила измерить константу обрыва, а также исследовать ранние стадии процесса полимеризации.

В настоящей работе исследована кинетика полимеризации твердого ФА в поле  $\gamma$ -излучения  $\text{Co}^{60}$  при помощи адиабатического калориметра с инерционностью 5–7 сек. и в поле тормозного  $\gamma$ -излучения пучка электронов с энергией 5 Мэв при помощи еще менее инерционного (0,3–0,5 сек.) пленочного адиабатического калориметра. Адиабатический калориметр для измерения тепловых эффектов в поле  $\gamma$ -излучения  $\text{Co}^{60}$  (рис. 1) представлял собой тонкостенный коваровый капилляр 4 диаметром 2 мм, в который запаивалась навеска исследуемого вещества. На внешнюю поверхность коварового капилляра был намотан платиновый термометр сопротивления и константановый калибровочный нагреватель 3. Калориметр подвешивали в медном тепловом экране 1, который помещали в закрытый медный патрон 2, имеющий в начале эксперимента температуру 77° К. Всю сборку подвешивали в вакуумной рубашке 6, которую помещали в сосуд Дьюара с жидким азотом. Калориметр градуировали с помощью калибровочного нагревателя, чувствительность калориметра  $(5-8) \cdot 10^{-6}$  кал/сек, инерционность 5–7 сек.

ФА намораживали внутрь коварового капилляра, охлаждаемого жидким азотом из газовой фазы со скоростью 0,1 г/мин, капилляр запаивали и калориметр помещали в охлажденной жидким азотом вакуумной рубашке, где создавали вакуум  $10^{-5}$  тор. Вес намороженного ФА был  $\sim 0,4$  г, что составляет 10% общего веса калориметра. Калориметр с ФА помещали в камеру установки  $\text{Co}^{60}$  в область, где мощность  $\gamma$ -излучения составляет  $(0,5 \div 2,3)$  рад/сек. При мощностях дозы (0,5 рад/сек) калориметр не реги-

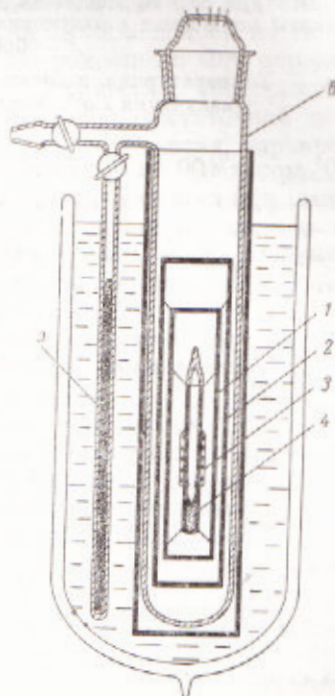


Рис. 1. Схема адиабатического калориметра для исследования полимеризации в поле  $\gamma$ -излучения  $\text{Co}^{60}$ . 5 — угольный напос; остальные объяснения в тексте

стрирует тепловыделения за счет поглощения  $\gamma$ -излучения, при более высоких мощностях дозы вносились соответствующие поправки.

Как видно из рис. 2, при включении  $\gamma$ -излучения в ФА регистрируется сильное тепловыделение. Была проведена серия таких экспериментов. Среднее значение радиационного выхода полимеризации ФА при 83—84° К и мощности дозы 1,1 рад/сек, полученное из этой серии, составляет (4—5) ·

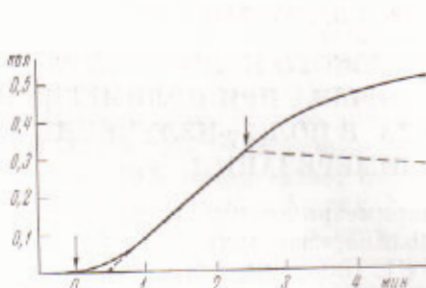


Рис. 2

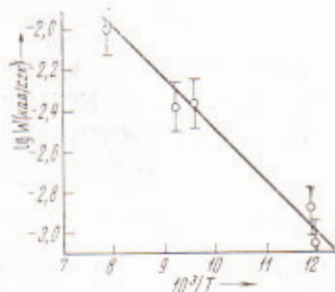


Рис. 3

Рис. 2. Кинетика тепловыделения при полимеризации ФА в поле  $\gamma$ -излучения  $\text{Co}^{60}$ . Температура 83,5° К, мощность дозы 1,1 рад/сек; вес ФА 0,4 г. Стрелками указаны моменты включения  $\gamma$ -излучения. Пунктирная линия — сигнал калориметра в калибровочном эксперименте

Рис. 3. Температурная зависимость скорости полимеризации твердого ФА в поле  $\gamma$ -излучения  $\text{Co}^{60}$ . Мощность дозы 1,1 рад/сек; доза 100—300 рад.

$\cdot 10^5$  молек/100 эв \*, что хорошо согласуется с полученными ранее значениями при помощи диатермического калориметра (1, 2). При интегральных дозах в эксперименте, больших 1000 рад, несмотря на то, что глубина превращения очень мала — всего  $\sim 1\%$ , становится заметным уменьшение скорости полимеризации в процессе облучения. Весьма интересен тот факт, что если ту же дозу облучения давать в несколько приемов по 100—200 рад с темновыми промежутками между облучениями 2—3 мин., то скорость полимеризации, а соответственно, и радиационный выход падают в 2—3 раза.

На рис. 2 видно, что после выключения  $\gamma$ -излучения тепловыделение не прекращается моментально, а благодаря постполимеризации продолжается, но скорость его убывает во времени (сравни с пунктирной кривой, полученной при мгновенном выключении нагревателя калориметра в калибровочном эксперименте). Аппроксимируя указанный спад скорости тепловыделения экспонентой, удается оценить константу обрыва полимерной цепи в твердом ФА в начальный период времени после выключения  $\gamma$ -излучения:  $K_0 \simeq 7 \cdot 10^{-3} \div 10^{-2}$  сек<sup>-1</sup>. Была проведена серия экспериментов, подобных представленному на рис. 2, но при разных исходных температурах ФА. Эта серия позволила проследить температурную зависимость скорости полимеризации ФА в поле  $\gamma$ -излучения.

Как видно на рис. 3, в интервале температур 80—130° К скорость полимеризации ФА возрастает с ростом температуры. Если теперь эту температурную зависимость спрямлять в общепринятых аррениусовых координатах, то энергия активации составит  $1,5 \pm 0,5$  ккал/моль (см. рис. 3). Это значение хорошо согласуется с величиной, полученной в (2).

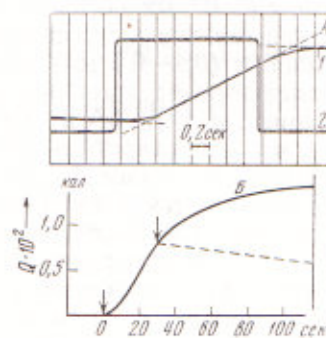
Начальную стадию полимеризации в описанных выше экспериментах исследовать не удалось, потому что время выключения  $\gamma$ -излучения составляет 20—30 сек. \*\* (см. начальный участок на рис. 2).

\* При расчете выхода принимали теплоту полимеризации ФА равной 400 кал/г (3).

\*\* Источники  $\text{Co}^{60}$  на установке поднимаются в рабочее положение механически, так что мощность дозы достигает максимума за 20—30 сек.

Для того чтобы оценить константу обрыва полимерной цепи непосредственно в поле  $\gamma$ -излучения, был сконструирован пленочный адиабатический калориметр малой инерционности. Калориметр представлял собой алюминиевый диск (диаметр 20 мм, толщина 0,05 мм) с приклеенным к нему

Рис. 4. А — фотография осциллограммы калибровки пленочного калориметра: 1 — зависимость от времени сигнала калориметра, 2 — ток через калибровочный нагреватель калориметра. Б — кинетика тепловыделения при полимеризации ФА в поле тормозного  $\gamma$ -излучения. Температура  $80^\circ\text{K}$ , вес ФА 0,03 г (толщина слоя  $\sim 0,2$  мм), мощность дозы 7 рад/сек. Стрелками указаны моменты включения и выключения электронного пучка. Пунктирная линия — сигнал калориметра в калибровочном эксперименте



термометром сопротивления и калибровочным нагревателем. Его подвещивали в тепловых экранах и вакуумной рубашке аналогично описанной выше конструкции. Намораживание ФА на диск производилось из газовой фазы через специальный капилляр. Вес намороженного ФА определяли по весу поли-ФА после проведения калориметрического эксперимента (перед вскрытием калориметра ФА облучали дозой, достаточной для 100% полимеризации). Вес ФА, используемого в экспериментах, варьировали от  $1,5 \cdot 10^{-2}$  до  $7 \cdot 10^{-2}$  г, так что толщина слоя твердого ФА на диске калориметра была 0,1—0,5 мм. Для определения инерционности калориметра сигналы с калибровочного нагревателя или электронного тока с тормозной мишени и термометра сопротивления были записаны на шлейфном осциллографе. На осциллограмме (рис. 4а) видно, что инерционность калориметра составляет 0,3—0,5 сек.

При помощи пленочного калориметра были проведены измерения скорости полимеризации ФА в поле  $\gamma$ -излучения, возникающего при торможении пучка электронов с энергией 5 МэВ. Использование такого источника для определения малых характеристических времен обрыва было вызвано тем, что его можно было включать, в отличие от установки  $\text{Co}^{60}$ , весьма быстро ( $\sim 1\mu\text{sec}$ ). Вначале при помощи пленочного калориметра были проведены измерения мощности дозы тормозного  $\gamma$ -излучения. Интенсивность тормозного излучения оказалась пропорциональна электронному току на тормозной мишени при токах от 1 до 12 мА. В экспериментах использовали интенсивность тормозного излучения от 3 до 40 рад/сек. На рис. 4 б представлены результаты измерения при помощи пленочного калориметра скорости полимеризации твердого ФА при  $80^\circ\text{K}$  в поле тормозного  $\gamma$ -излучения. Видно, что за время порядка 2—3 сек скорость полимеризации достигает стационарного значения. Следовательно, константа обрыва полимерной цепи ФА в поле  $\gamma$ -излучения  $K_o \simeq 1 \text{ сек}^{-1}$ . Оценка константы обрыва постполимеризации из данных, полученных на пленочном адиабатическом калориметре, дает величину  $K_o \simeq (1-2) \cdot 10^{-2} \text{ сек}^{-1}$ . Следует подчеркнуть, что спад скорости полимеризации лишь в начальный период времени описывается приведенными константами обрыва. При длительных временах спад скорости замедляется. Такой сложный характер спада скорости полимеризации твердого ФА после выключения ионизирующего излучения может быть связан с процессом «застывания» полимерной цепи. Это явление, видимо, довольно распространено для твердофазной полимеризации, наблюдалось ранее для акрилонитрила (1). Радиационный выход полимеризации  $G(-M)$  при  $80^\circ\text{K}$  в опытах с пленочным калориметром составил  $G(-M) \simeq (1 \div 3) \cdot 10^5$ . Эта

величина хорошо совпадает с величинами  $G(-M)$ , полученными при помощи других калориметров (<sup>1</sup>, <sup>2</sup>).

Таким образом, в настоящей работе наряду с оценкой величины константы обрыва полимерной цепи ФА в поле  $\gamma$ -излучения при 80° К показано, что кинетические параметры, полученные для радиационной полимеризации массивных образцов ФА (размер 0,2—1 см), хорошо согласуются с данными для радиационной полимеризации образцов ФА в виде тонких пленок (0,1—0,5 мм) при использовании  $\gamma$ -излучения.

В дальнейшем представляет интерес провести измерения скорости полимеризации твердого ФА в еще более тонких пленках, вплоть до  $10^{-5}$  см. Известно, что поверхностные слои кристаллов ( $10^{-4}$ — $10^{-6}$  см) существенно отличаются по своим физическим свойствам от объемных, поэтому и характер химических реакций в поверхностных слоях, как правило, существенно иной (<sup>3</sup>). В этой связи было бы весьма интересно провести сравнение полученных здесь кинетических параметров, твердофазной полимеризации ФА в поле  $\gamma$ -излучения с характеристиками полимеризации ФА при облучении его киловольтными электронами, пробег которых, а следовательно, и зоны реакции полимеризации в твердой фазе составляют  $2,5 \cdot 10^{-5}$  см (<sup>4</sup>). Можно ожидать, что в последнем случае константа обрыва цепи будет еще большей, а наблюдаемая скорость реакции полимеризации — существенно меньшей. Кроме того, в условиях облучения киловольтными электронами лишь очень тонкого поверхностного слоя на наблюдаемой скорости полимеризации и выходе полимера может заметно сказываться различие условий, в которых растущая полимерная цепь способна (например, в области фазовых переходов) или не способна выходить за пределы облучаемого объема.

Институт химической физики  
Академии наук СССР

Поступило  
15 III 1971

#### ЦИТИРОВАННАЯ ЛИТЕРАТУРА

- <sup>1</sup> Д. П. Кирюхин, А. М. Каплан и др., Высокомолек. соед., **B12**, 491 (1970).  
<sup>2</sup> Д. П. Кирюхин, А. М. Каплан и др., Препринт ИХФ АН СССР, М., 1970.  
<sup>3</sup> F. S. Dainton, K. I. Ivin, D. A. G. Walmsley, Trans. Farad. Soc., **55**, 61 (1959). <sup>4</sup> А. М. Каплан, Д. П. Кирюхин и др., ДАН, **190**, № 6, 1387 (1970).  
<sup>5</sup> Ф. Ф. Волькенштейн, Кинетика и катализ, **11**, в. 2, 395 (1970). <sup>6</sup> Д. А. Крицкая, А. Н. Пономарев, В. Л. Тальрозе, Хим. высоких энергий, **2**, 54 (1968).